

## Література

1 Драганчук О.Т. Науково-методологічні основи конструювання озброєння шарошкових доліт: Дис. ... докт. техн. наук. – Ів.-Фр., 1996. – 456 с.

2 Мокшин А.С., Владиславлев Ю.Е., Комм Э.Л. Шарошечные долота. – М: Недра, 1971. – 216 с.

3 Палий П.А., Корнеев К.Е. Буровые долота: Справочник. – М.: Недра, 1971. – 445 с.

4 Петрина Ю.Д. Розробка науково-прикладних основ підвищення довговічності бурових доліт шляхом раціонального використання матеріалів: Дис. ... докт. техн. наук. – Ів.-Фр., 1999. – 325 с.

5 Юрковский П.В. Геометрическое конструирование шарошек буровых долот с использованием интерактивной машинной графики: Дис. ... канд. техн. наук. – Киев, 1982. – 200 с.

УДК 622.276

## НАВАНТАЖЕНІСТЬ КОЛОННИ ШТАНГ З ДВОМА ПЛУНЖЕРНИМИ НАСОСАМИ

**Б.Д.Малько,**

*ІФНТУНГ, 76019, Івано-Франківськ, вул. Карпатська, 15*

**O.В.Прозур, П.В.Пушкар**

*Прилуцьке НГВУ, Надвірнянське НГВУ, ВАТ „Укрнафта”*

Определены особенности погружения колонны штанг глубинной насосной установки с двумя плунжерными насосами. Установлено, что в такой системе нагрузка на нижнюю часть штанг на 25% меньше, чем в схеме с одним плунжерным насосом.

Сучасні схеми штангових глибинних насосних установок (ШГНУ), які використовуються для видобування нафти, мають традиційно одну структуру, зображену на рис. 1 [1]. Сюди входить верстат-гойдалка 1, колона штанг 2, на яких підвішений плунжер 3 занурювального насоса 4.

*Стан питання.* Схеми можуть відрізнятись конструкцією механізму верстата-гойдалки або заглибного насоса. Такі схеми використовуються в різних за глибиною свердловинах – від кількох сотень до 3000 м і більше, за нахилом осі – від вертикальних до похило напралених. При цьому навантаження на штанги в міру збільшення глибини свердловини й викривлення її осі суттєво зростає і в кінцевому результаті призводить до обмеження використання ШГНУ. В глибоких свердловинах крім того, що зростає навантаження на штанги від власної ваги, має місце збільшення деформації колони штанг і відповідно втрата ходу плунжера занурювального насосу.

*Мета роботи.* Метою проведених досліджень є вивчення умов роботи колони штанг з двома плунжерними насосами.

Реалізація поставленої мети здійснюється коректуванням схеми ШГНУ. Для цього вводиться додатковий плунжерний насос 2, розташований вище основного насоса 1 (рис. 2). Подібні схеми використовуються для компенсації устьового тиску в свердловинах [2]. Результати досліджень, викладені в цій роботі, засвідчують, що наявність верхнього плунжера дає змогу суттєво зменшити навантаження на колону

*Habits of a loading of a column of rods of the deep-seated pumping units with two ram-type pumps are defined. It is established that in such system of loading on the lower part of rods on 25 % it is less than in the circuit with one ram-type pump.*

штанг. Окрім того, за певних умов в свердловині з'являється фонтанний ефект, викликаний дією верхнього плунжера. На даний час відсутні фундаментальні дослідження роботи подвійних плунжерних насосів як компенсаторів устьового тиску, так і для видобування нафти із свердловин. В даній статті розглядається робота двох плунжерних насосів, які використовуються для підймання нафти з свердловини (рис. 2).

Нижній насос 1 розташований під динамічним рівнем, а верхній насос 2 піднятий на висоту  $l_1$  над нижнім. Довжина штанг, на яких підвішений до головки балансира верхній насос, дорівнює  $l_2$ . Діаметри  $d_2$  плунжера верхнього насоса і  $d_1$  плунжера нижнього насоса можуть бути рівними, тобто  $d_1=d_2$ , або різними, тобто  $d_1>d_2$  або  $d_1< d_2$ . В кожному з цих випадків будуть різні умови роботи штанг.

Розглянемо загальний випадок роботи системи. При русі колони штанг вгору клапани 3, 4 закриті, а всмоктувальний клапан 5 відкритий. Верхня частина колони штанг  $l_2$  сприймає навантаження

$$\ddot{F}_2 = G_{u1} + G_{u2} + G_{p1} + G_{p2} + F_{d12} + F_m. \quad (1)$$

Тут:  $G_{u1}$ ,  $G_{u2}$  – вага нижньої і верхньої частин колони штанг;  $G_{pl}$ ,  $p_{u2}$  – вага рідини в порожнинах I і II;  $F_{d12}$  – динамічне зусилля, яке має місце при нерівномірному русі всієї колони штанг;  $F_m$  – сила опору рухові всієї колони штанг.



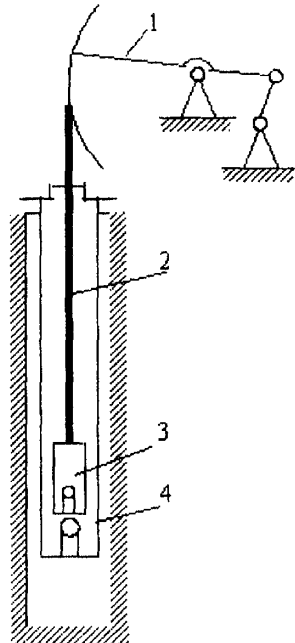


Рисунок 1 - Схема штангової глибиннонасосної установки

Навантаження на нижню частину колони штанг менше і становить:

$$F_I = G_{wl} + G_{pl} + F_{ol} + F_{ml}. \quad (2)$$

Рівняння (1) визначає навантаження на головку балансира верстата-гойдалки як для схеми з двома насосами, так і для традиційної схеми з одним нижнім насосом. На рис. 3 зображені епюри розподілу поздовжньої статичної сили  $F$  по всій довжині колони штанг для двох схем. Схемі з двома насосами відповідає епюра, яка йде по ломаній 012345. Відрізок 23 відповідає вазі рідини  $G_{pl}$ , розташованій в порожнині II над плунжером 2. Ця вага не передається на нижню частину штанг. Відрізок 45 відповідає вазі рідини  $G_{pl}$  в нижній порожнині I. Епюра розподілу поздовжньої сили  $F$  для схеми з одним нижнім насосом зображена відрізками 01265. В цій схемі вся колона штанг сприймає повну вагу рідини, розташованої над плунжером.

Процес деформування штанг при русі вгору здійснюється поступово в декілька етапів. Спочатку деформується верхня частина колони  $l_2$ . На першому етапі деформація відповідає навантаженню, яке дорівнює вазі рідини  $G_{pl}$  над плунжером 2,

$$\delta_{21} = \frac{G_{pl} l_2}{E_2 A_2}.$$

По завершенні первого етапу деформації починається рух плунжера 2 і деформація нижньої частини колони штанг  $l_1$ , а також продовжується деформація верхньої частини колони. Значення деформацій такі:

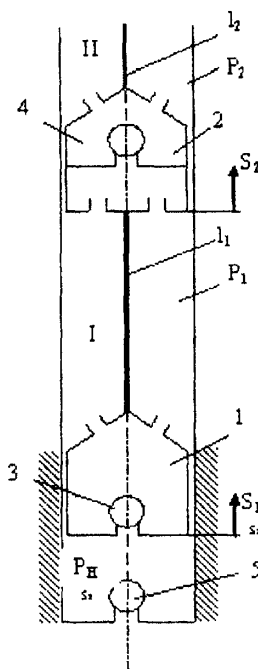


Рисунок 2 - Схема розміщення двох плунжерних насосів

$$\delta_{22} = \frac{G_{pl} l_2}{E_2 A_2}, \quad \delta_{12} = \frac{G_{pl} l_1}{E_1 A_1}.$$

Повна деформація верхньої частини штанг по завершенні другого етапу деформації дорівнює

$$\delta_2 = \delta_{21} + \delta_{22} = \frac{(G_{pl} + G_{p2}) l_2}{E_2 A_2}. \quad (3)$$

Деформація всієї колони штанг під дією сили ваги рідини, яка підіймається, становить:

$$\delta_c = \delta_2 + \delta_{12} = \frac{(G_{pl} + G_{p2}) l_2}{E_2 A_2} + \frac{G_{pl} l_1}{E_1 A_1}. \quad (4)$$

Якщо довжини частин колони одинакові  $l_1 = l_2$ , рівні діаметри плунжерів, тоді  $A_1 = A_2$ ,  $G_{pl} = G_{p2}$  і, крім того,  $E_1 = E_2$ , то маємо

$$\delta_c = \frac{3G_{p2} l_1}{E_1 A_1}. \quad (5)$$

Для одноступеневого насоса (рис. 1) деформація колони штанг під дією ваги рідини має значення

$$\delta_{c1} = \frac{4G_{p2} l_1}{E_1 A_1}. \quad (6)$$

Порівнюючи рівняння (5) і (6), знаходимо, що статична деформація колони штанг з двоступеневим насосом менша від деформації колони штанг з одним насосом на величину

$$\Delta = \delta_{c1} - \delta_c = \frac{G_{p2} l_1}{E_1 A_1}. \quad (7)$$

Рівняння (7) одержане з виконання умов рівності довжин  $l_1 = l_2$  і площ плунжерів та штанг. Для загального випадку, користуючись



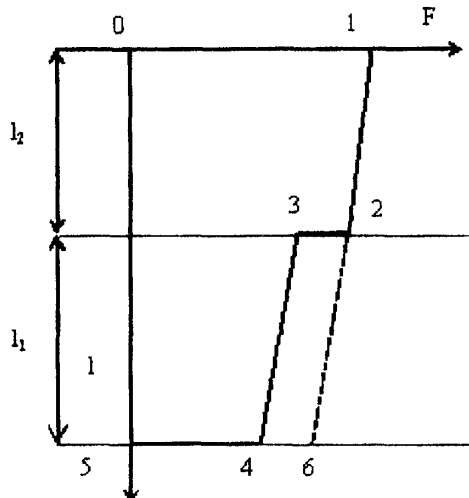


Рисунок 3 - Епюри розподілу поздовжньої статичної сили по довжині колони штанг

епюрою розподілу сил (рис. 2), визначимо деформації штанг під дією ваги рідини:

для здвоєного насоса

$$\delta_{p2} = \frac{G_{p1}l_1}{E_1A_1} + \frac{(G_{p1} + G_{p2})l_2}{E_2A_2}$$

для одного насоса

$$\delta_{p2} = \frac{(G_{p1} + G_{p2})\lambda_1}{E_1A_1} + \frac{(G_{p1} + G_{p2})\lambda_2}{E_2A_2}$$

Різниця в деформаціях дорівнює

$$\Delta = \frac{G_{p2}l_1}{E_1A_1}$$

Маємо таке ж значення, як і в рівнянні (7). Отже, наявність другого плунжерного насоса дозволяє зменшити навантаженість і деформацію нижньої частини штанг. Визначимо положення верхнього насоса, яке забезпечує максимальне значення  $\Delta$  зменшення деформації. Вага рідини  $G_{p2}$ , розташованої над верхнім плунжером, дорівнює

$$G_{p2} = A_{p2}l_2\gamma. \quad (8)$$

де:  $A_{p2}$  – площа попереднього перерізу стовпа рідини в порожнині II;  $\gamma$  - питома вага рідини.

Введемо умову

$$l_2 = \lambda l_1 \quad (9)$$

і запишемо рівняння для повної довжини колони штанг

$$L = l_1 + l_2 = l_1(1 + \lambda).$$

Звідси знаходимо

$$l_1 = \frac{L}{1 + \lambda}.$$

Підставляємо  $l_1$  в (9) і з врахуванням (8) перепишемо рівняння (7) у вигляді

$$\Delta = \frac{A_{p2}L\gamma^2}{E_1A_1} \cdot \frac{\lambda}{(1 + \lambda)^2}.$$

Тоді рівняння (10) можна переписати

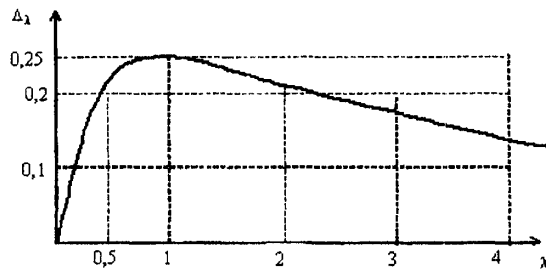


Рисунок 4 - Залежність різниці деформації  $\Delta_\lambda$  від коефіцієнта довжини  $\lambda$

$$\Delta = \frac{A_{p2}L^2\gamma}{E_1A_1} \cdot \Delta_\lambda. \quad (10)$$

Перший співмножник правої частини рівняння (10) залежить від параметрів свердловини і є постійною величиною. На значення деформації  $\Delta$  впливає безрозмірний коефіцієнт  $\Delta_\lambda$  величина якого залежить від коефіцієнта довжини  $\lambda$ .

Залежність зміни  $\Delta_\lambda$  від значення  $\lambda$  зображена на рис. 4. Звідси знаходимо, що максимальне зменшення деформації штанг буде при  $\lambda=1$ . Це відповідає умові, що  $l_1=l_2$ , тобто верхній насос розташований посередині колони штанг. Крім того, з рисунка знаходимо, що зона раціонального розташування верхнього насоса знаходиться в межах значень  $\lambda = 0,5 \dots 2$ , або  $l_2 = (0,5 \dots 2)l_1$ . В цих межах  $\Delta_\lambda$  приймає значення  $\Delta_\lambda \geq 0,222$ .

### Висновки

Результати досліджень засвідчують, що використання другого плунжерного насоса, розташованого посередині колони штанг уможливлює зменшення навантаження на нижню частину штанг на 25%. В результаті збільшиться їх довговічність. З другого боку, зменшення навантаження дає змогу використовувати штанги з менш міцного матеріалу, наприклад, склопластикові штанги.

### Література

- Адонин А.Н. Добыча нефти штанговыми насосами. – М.: Недра, 1977. – 213 с.
- Ишмурзин А.А., Шамасов Н.Х. Штанговая насосная установка для скважин с высоким устьевым давлением //Реф. Науч. техн. сб.: Машины и нефтяное оборудование: - М.: ВНИИОЭНГ. – 1980. №2. – С.7-9.

